

**О СПЕКТРАЛЬНОМ РАСПРЕДЕЛЕНИИ МОЩНОСТИ ИЗЛУЧЕНИЯ*****M. M. Гуревич***

1. Около 10 лет тому назад А. А. Гершун<sup>1</sup> обратил внимание физиков и светотехников на то, что при изложении законов температурного излучения приходится встречаться с некоторыми затруднениями, связанными с распределением энергии в спектре излучения абсолютно черного тела (а.ч.т.) и, в частности, в связи с вопросом о положении максимума в спектре такого излучения.

Иной раз забывают о том, что спектральная плотность излучения, характеризуемого в той или другой спектральной шкале, сама по себе ни с какой энергией (или мощностью) не связана, а является лишь вспомогательной величиной, позволяющей определить мощность излучения в выбранном участке спектра. Понятно, что эта вспомогательная величина зависит от того, вдоль какой шкалы распределяется мощность излучения.

В настоящее время естественно остановиться на трех таких шкалах. Во-первых, речь пойдет о наиболее привычной для большинства физиков и светотехников линейной шкале длин волн  $\lambda$ , в которой элементарная мощность излучения  $dP$  на участке  $\lambda, \lambda + d\lambda$  определяется произведением

$$dP = p(\lambda) d\lambda \text{ вт} \cdot \text{см}^{-2}. \quad (1)$$

Во-вторых, надо указать на предпочитаемую многими теоретиками шкалу частот или (что почти то же) шкалу волновых чисел  $n$ , в которой элементарная мощность  $dP$  на участке  $n, n + dn$  выражается так:

$$dP = \rho(n) dn \text{ вт} \cdot \text{см}^{-2}. \quad (2)$$

И, в-третьих, речь пойдет о мало привычной, но по ряду причин заслуживающей внимание логарифмической шкале, где в линейном масштабе отложены логарифмы длин волн ( $\ln \lambda$ ) или волновых чисел ( $\ln n$ ) и где элементарная мощность  $dP$  изображается так:

$$dP = p(\ln \lambda) d(\ln \lambda) = p(\ln \lambda) \frac{d\lambda}{\lambda} \text{ вт} \cdot \text{см}^{-2}. \quad (3)$$

Во всех случаях ширина спектрального интервала ( $d\lambda, dn, d\lambda/\lambda$ ) входит множителем в выражение для элементарной мощности излучения. Поэтому невозможно указать, при какой из двух длин волн  $\lambda_1$  и  $\lambda_2$ , входящих в состав сплошного спектра, излучается большая мощность. Ответ зависит от совершенно независимым путем устанавливаемых интервалов  $d\lambda_1$  и  $d\lambda_2$ . Такие же замечания справедливы для любой спектральной шкалы.

Каждая из шкал приводит к своему виду функции Планка и каждой соответствует свое положение максимального значения этой функции,

определенное законом смещения

$$\lambda_m T = \text{const.} \quad (4)$$

Постоянная закона смещения имеет свое значение для каждой шкалы (см., например, <sup>2</sup>), причем

$$\text{для функции } p(\lambda) \quad C(\lambda) = 2896,2 \text{ мкм·град}, \quad (4a)$$

$$\text{для функции } p(n) \quad C(n) = 5096,8 \text{ мкм·град}, \quad (4b)$$

$$\text{для функции } p(\ln \lambda) \quad C(\ln \lambda) = 3667,7 \text{ мкм·град}. \quad (4v)$$

Линейная шкала длин волн отличается тем, что громадную область коротковолнового излучения (ультрафиолетовые, рентгеновские и γ-лучи) она «зажимает» на малом участке около своего начала. Шкала волновых чисел «зажимает» около своего начала все длинноволновое излучение (инфракрасные, радиоволны). Так как все графики спектрального распределения строятся с соблюдением условия пропорциональности между мощностью, излучаемой в данном интервале, и площадью, лежащей под тем же участком кривой (между кривой, осью абсцисс и двумя границами ординатами), такое одностороннее «скатие» шкалы должно оказаться в соответственном увеличении ординат. Иначе говоря, из общих соображений следует ожидать смещения максимума кривой в коротковолновую часть спектра в шкале длин волн и в длинноволновую в шкале волновых чисел (или частот).

Логарифмическая шкала не имеет нулевой точки и предоставляет всем видам электромагнитного излучения равные участки при равных относительных изменениях длины волны (или волнового числа) в любом спектральном диапазоне.

2. С принципиальной точки зрения правомерность всех упомянутых шкал не вызывает сомнений, но практически они оказываются не равнозначными. В качестве примера рассмотрим, например, задачу об определении температуры, при которой световой коэффициент полезного действия (к. и. д.) излучения а.ч.т. становится наибольшим. Оптик или светотехник, привыкший оперировать с кривой спектральной плотности  $p(\lambda)$ , изображаемой в линейной шкале длин волн, легко придет к неверному заключению, если воспользуется привычным значением константы закона смещения (4a) и вычислит эту температуру так:

$$T_m = 2896,2 / 0,555 \approx 5200^\circ \text{К.}$$

Этот расчет основан на допущении, что наиболее благоприятные условия для светового выхода излучения создаются тогда, когда максимум спектральной плотности придется на ту длину волны, к которой глаз наиболее чувствителен, и при первом взгляде кажется безупречным.

Между тем известно, что излучение а.ч.т. имеет наибольший световой к. и. д. при температуре около  $6600^\circ \text{К}$ , которая получится, если воспользоваться тем значением константы закона смещения, которая соответствует логарифмической шкале (4v), т. е.

$$T_m = 3667,7 / 0,555 \approx 6600^\circ \text{К.}$$

Правильное заключение можно, конечно, получить и исходя из функции  $p(\lambda)$ , но для этого надо помнить, что если максимальное значение этой функции при температуре  $T$  приходится на длину волны  $\lambda_m$ , то наибольшая доля излучения придется на участок около той же длины волны

при другой температуре  $T_m$ , которую требуется искать путем дополнительных расчетов.

3. В этой связи рассмотрим еще раз задачу о к. п. д. излучения а. ч. т. в узком спектральном интервале\*). Под к. п. д. излучения в узком интервале понимается отношение мощности  $\Delta P$ , приходящейся на выбранный интервал  $\lambda, \lambda + \Delta\lambda$ , к общей мощности  $P$  излучения. Обозначим этот к. п. д. через  $\Delta\eta$ . Согласно определению для а. ч. т.

$$\Delta\eta = \frac{\Delta P}{P} = \frac{C_1 \lambda^{-5} \Delta\lambda}{(e^{C_2/\lambda T} - 1) \sigma T^4} = \frac{C_1}{C_2 \sigma} \frac{X^{-4}}{e^{1/X} - 1} \frac{\Delta\lambda}{\lambda}, \quad (5)$$

где  $X = \lambda T / C_2$ .

К.п.д.  $\Delta\eta$  является функцией температуры а. ч. т., длины волны  $\lambda$  и ширины выделенного интервала  $\Delta\lambda$ . Рассмотрим подробнее полученное

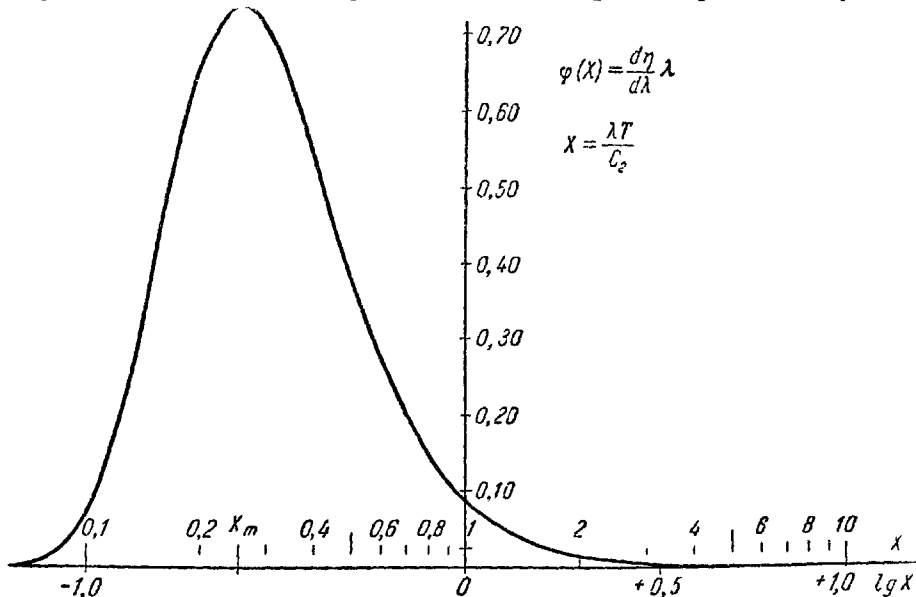


Рис. 1. Рассчитанный на октаву к. п. д. излучения а. ч. т. в зависимости от  $\lambda T / C_2$ .

выражение. Первый из трех написанных множителей оказывается постоянной и безразмерной величиной, равной  $1/6,4939$ . Второй множитель —  $f(X) = X^{-4}/(e^{1/X} - 1)$  — также безразмерный и зависит только от произведения  $\lambda T$ . Легко видеть, что при  $X = X_m = 0,25505$  этот множитель достигает своего максимума  $f(X_m) = 4,7799$  и стремится к нулю как в сторону больших, так и в сторону малых значений  $X$ .

Третий, также безразмерный множитель  $\Delta\lambda/\lambda$  дает спектральную ширину выделенного интервала в относительной мере. Единицу относительного спектрального интервала можно назвать «октавой», так как она соответствует изменению длины волны ( $\Delta\lambda$ ), равному самой длине волны ( $\lambda$ ).

Величина

$$\varphi(X) = \frac{\Delta\eta}{\Delta\lambda/\lambda} = \frac{f(X)}{6,4939} \quad (6)$$

представляет к.п.д. излучения а. ч. т., рассчитанный на одну октаву. Его зависимость от  $X$  (в логарифмическом масштабе) показана на рис. 1.

\*.) Недавно эта задача рассмотрена Р. А. Сапожниковым<sup>3</sup>, который привел по подробной литературе по этому вопросу.

Рассматривая к. и. д.  $\Delta\varphi$  как функцию температуры, мы видим, что своего наибольшего значения он достигает при температуре  $T_m$  вместе с функцией  $\varphi(X)$ . При этом

$$\Delta\varphi_m = \frac{4,7799}{6,4939} \frac{\Delta\lambda}{\lambda} = 0,73605 \frac{\Delta\lambda}{\lambda}$$

и

$$\lambda T_m = 3667,7 \text{ мкм}\cdot\text{град К.} \quad (7)$$

Таким образом, для того чтобы найти температуру, при которой в интервале  $\lambda, \lambda + \Delta\lambda$  находится наибольшая часть общей мощности излучения

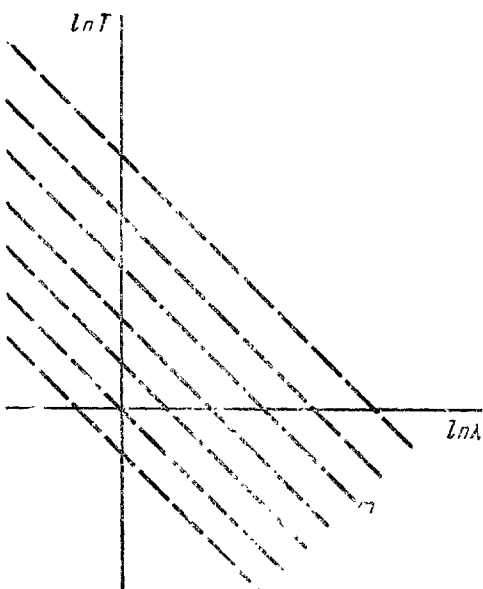


Рис. 2. Плоскость независимых переменных функций Планка в логарифмических масштабах.

стационарной температуре. Из (6) следует, что зависимость от длины волны рассчитанного на октаву к.п.д. совпадает с его зависимостью от температуры и также может быть изображена кривой, показанной на рис. 4.

Для того чтобы подробнее ориентироваться в получающихся соотношениях, отложим по оси абсцисс (рис. 2) логарифм длины волны ( $\ln \lambda$ ), а по оси ординат — логарифм температуры ( $\ln T$ ). Каждой точке этой плоскости соответствует пара значений  $\lambda, T$  и определение  $\varphi(X)$ , которое может быть отложено в произвольном масштабе на перпендикуляре к плоскости. Концы полученных отрезков образуют поверхность  $\varphi(\lambda T, \psi_2)$ , форма которой может быть легко установлена.

Семейство параллельных прямых, выражаемых уравнением  $\ln \lambda + \ln T = \text{const}$  (показано пунктиром на рис. 2), является геометрическим местом точек постоянных значений произведения  $\lambda T$  и вместе с тем функции  $\varphi(X)$ .

Плоскость  $U$ , перпендикулярная к плоскости рис. 2 и параллельная оси ординат ( $\lambda = \text{const}$ ), пересечет поверхность  $\varphi$  по линии, повторяющей кривую, изображенную на рис. 1. Перемещая плоскость  $U$  параллельно

а.ч.т., надо руководствоваться выражением (7), что и поясняет рассмотренный выше случай светового к.п.д. излучения а.ч.т. Последнее не зависит от того, в какой шкале рассматривается спектральное разложение — в длинах волн, волновых числах или их логарифмах.

Функция  $\varphi(X)$ , изображенная на рис. 1, показывает, как изменяется к. п. д. при изменении температуры, причем эта зависимость одинакова для всех длин волн. Различие состоит только в том, что в соответствии с (7) при изменении длины волны максимум будет приходить на другую температуру.

4. Выражение (5), определяющее к. п. д.  $\Delta\varphi$ , можно рассматривать и как функцию длины волны, определяющую спектральную зависимость элементарной мощности  $\Delta P$  в долях общей мощности  $P$  излучения а.ч.т. при по-

самой себе, будем получать в сечении с поверхностью  $\phi$  все те же кривые. Максимальная высота этих кривых будет находиться над той из пунктирных линий, которая соответствует (7). На рис. 2 она обозначена буквой  $m$ .

Сечение поверхности  $\phi(\lambda T/C_2)$  плоскостью  $U$ , перпендикулярной к плоскости рис. 2 и параллельной оси абсцисс ( $T = \text{const}$ ), будет повторять ее сечение с плоскостью  $U$ .

Максимальное значение  $\phi(X)$  в этом сечении будет находиться над той же пунктирной линией, которая отмечена буквой  $m$ . При перемещении плоскости  $U$  параллельно самой себе кривая, по которой она пересекается с поверхностью  $\phi(\lambda T/C_2)$ , также будет сохранять свою форму.

На рис. 3 показан вид поверхности  $\phi(\lambda T/C_2)$  в логарифмических координатах. Поверхность напоминает своеобразную «волну» с горизонтальным и прямолинейным гребнем, расположенным над пунктирной линией  $m$ . Поверхность спускается к нулю как в сторону больших, так и в сторону малых значений произведения  $\lambda T$ .

5. Следует отметить, что столь простая зависимость ч.н.д. монохроматического излучения а.ч.т. от длины волны и от температуры имеет место только в логарифмических шкалах.

Если обратиться к аналитической картине в линейных шкалах  $\lambda$  и  $T$ , то соотношения окажутся гораздо сложнее. Прежде всего в линейных шкалах их дифференциалы  $d\lambda$  и  $dT$  окажутся размерными величинами. Построим поверхность

$$\psi(\lambda, T) = \frac{d\eta}{d\lambda} = \frac{1}{\lambda} \Phi \left( \frac{\lambda T}{C_2} \right). \quad (8)$$

отложив величины  $\psi(\lambda, T)$  как отрезки на перпендикулярах, восстановленных из точек  $\lambda, T$  координатной плоскости (рис. 4). Величина  $\psi(\lambda, T)$  также окажется размерной с размерностью [длина]<sup>-1</sup>.

Рис. 4. Плоскость независимых переменных функции Планка в линейных шкалах.

Линии  $\lambda T = \text{const}$ , вдоль которых функция  $\phi(X)$  имеет постоянное значение, будут равносторонними гиперболами. Они показаны пунктиром на рис. 4. Одна из этих гипербол, соответствующая значению

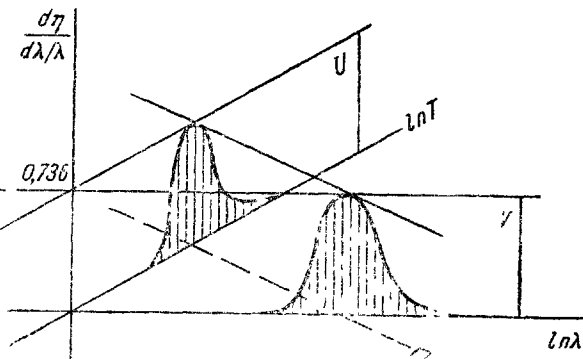
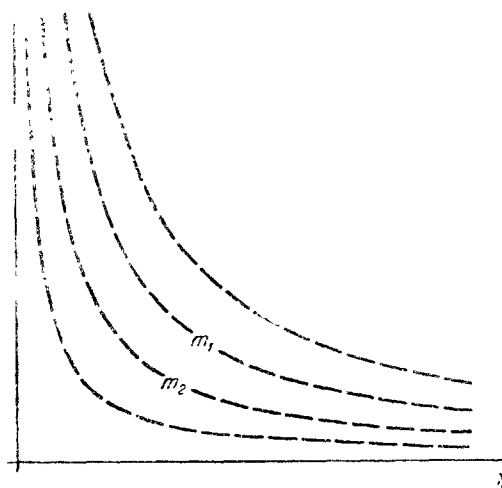


Рис. 3. Поверхность  $\phi(\lambda T/C_2)$  и ее сечения плоскостями  $U$  ( $\lambda = \text{const}$ ) и  $V$  ( $T = \text{const}$ ).



$\lambda T = 3667,7 \text{ мкм}\cdot\text{град}$ , обозначена буквой  $m_1$ . Функция  $\psi(\lambda, T) = \frac{d\eta}{d\lambda}$  не будет иметь постоянного значения вдоль гипербол  $\lambda T = \text{const}$ , так как согласно (8) постоянную величину  $\phi(X)$  придется делить на изменяющуюся длину волны  $\lambda$ . При уменьшении  $\lambda$  значения  $\psi(\lambda, T)$  будут возрастать по гиперболическому закону.

Рассмотрим сечение поверхности  $\psi(\lambda, T)$  плоскостью  $\lambda = \text{const}$ . Как видно из (8), при постоянном  $\lambda$  форма этого сечения не будет отличаться от

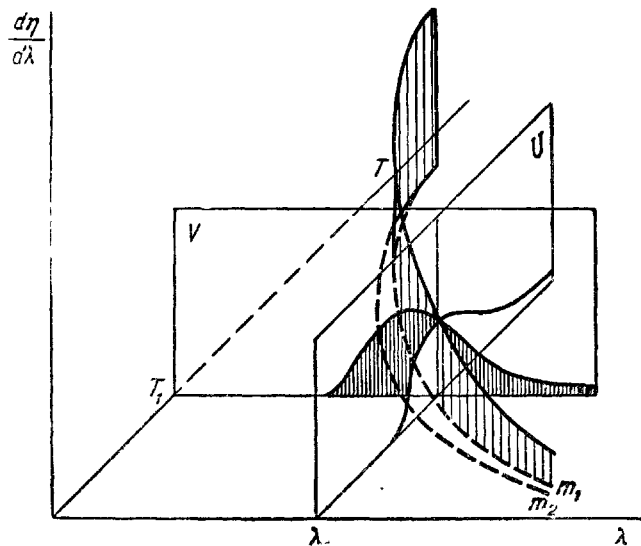


Рис. 5. Поверхность  $\psi(\lambda, T)$  и ее сечение плоскостями  $U (\lambda = \text{const})$  и  $V (T = \text{const})$

формы кривой  $\phi(X)$ , показанной на рис. 1. Своего наибольшего значения в плоскости  $\lambda = \text{const}$  функция  $\psi(\lambda, T)$  достигнет в точке  $T_m$  лежащей на гиперbole  $m_1$ .

Если рассмотреть сечение поверхности  $\psi(\lambda, T)$  плоскостью  $T = \text{const}$ , то максимумы этих кривых также лежат над одной из равносторонних гипербол, но с другим значением постоянной, именно  $\lambda T = 2896,2 \text{ мкм}\cdot\text{град}$ . На рис. 4 эта гипербела обозначена буквой  $m_2$ .

Если мы попытаемся представить себе поверхность  $\psi(\lambda, T)$  в координатах  $\lambda$  и  $T$ , то увидим, что она сильно отличается от поверхности  $\phi\left(\frac{\lambda T}{C_2}\right)$ , показанной на рис. 3. Прямолинейная «волна» с горизонтальными гребнем превращается здесь в своего рода «гору», изогнутую в горизонтальной плоскости  $(\lambda, T)$  по гиперболе  $m_1$ , над которой лежит ее «хребет», круто поднимающийся вверх по мере уменьшения  $\lambda$ . На рис. 5 показаны примерная форма этой «горы» и вид кривых, по которым она пересекается с плоскостями  $U (\lambda = \text{const} = \lambda_1)$  и  $V (T = \text{const} = T_1)$ . Из рисунка видно, что смещение максимума кривой в плоскости  $V$  по отношению к линии ее пересечения с плоскостью  $U$ , в которой  $T_1 = T_m$ , является следствием общего подъема всей «горы» в сторону коротких длин волн.

Можно было бы подробнее разобрать формы поверхностей к. п. д. в логарифмических и линейных шкалах волновых чисел  $n$  и температур  $T$ . И снова пришлось бы убедиться, что в логарифмических шкалах форма поверхности несравненно проще, чем в линейных. Однако такой разбор

был бы в значительной мере повторением того, что уже изложено, вследствие чего он опускается.

6. Воспользуемся приемом, изложенным Фабри<sup>4</sup>, и, сохранив масштаб функции  $\varphi(X)$ , примем за единицу независимого переменного то ее значение  $X_m = 0,25505$ , которому соответствует максимум  $\varphi(X)$ . Обозначив новую функцию через  $y$ , а новую независимую переменную буквой  $x$ , получим

$$y = 36,387 \frac{x^{-4}}{e^{3,9207/x} - 1} = 36,387 \frac{x^{-4}}{10^{1,70273/x} - 1}. \quad (9)$$

Легко видеть, что при  $x = 1$   $y = 0,7360_5$ , что соответствует наибольшему возможному значению к. п. д. излучения а.ч.т. на одну октаву. Из всего

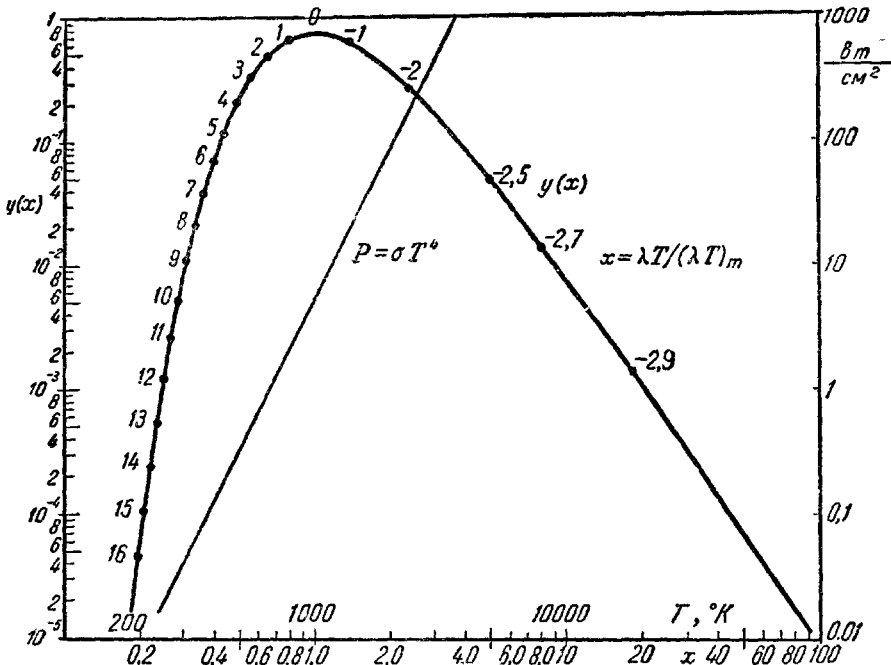


Рис. 6. График для расчета к. п. д. и мощности излучения а. ч. т. в узких участках спектра.

предыдущего следует, что эта функция — она показана графически на рис. 6 — может быть с удобством использована при расчетах излучений, используемых а.ч.т.

Допустим, что мы хотим знать, какую мощность излучает а.ч.т. при  $T = 2000^\circ\text{K}$  в спектральном интервале  $0,50—0,60 \text{ мкм}$ . Определим среднюю длину волны заданного интервала как полусумму крайних и будем считать ее равной  $0,55 \text{ мкм}$ . Найдем произведение  $\lambda T = 0,55 \cdot 2000 = 1100 \text{ мкм}\cdot\text{град}$  и отношение его к произведению  $(\lambda T)_m$ , соответствующему максимальным значениям  $\varphi(X)$ , т. е.  $1100/3667,7 \approx 0,3$ . Легко видеть, что последнее отношение является независимым переменным в выражении (9).

Из рис. 6 видно, что  $y(0,3) = 0,01$  и, следовательно, к. п. д. излучения а. ч. т. в интересующем нас участке равен  $y(0,3) \Delta\lambda/\lambda = 0,01 \frac{0,1}{0,55} = 0,00182$ . Для нахождения мощности  $\Delta P$ , излучаемой а.ч.т. в указанных

условиях, полученный результат надо умножить на  $P = \sigma T^4$ , т. е. в нашем случае на  $5,68 \cdot 16 = 90,8 \text{ вт см}^{-2}$ . Итак, в интервале  $0,5-0,6 \text{ мкм}$  при  $T = 2000 \text{ К}$  каждый  $\text{мкм} \cdot \text{см}^2$  а. ч. т. излучает  $0,00182 \cdot 90,8 = 0,165 \text{ вт}$ .

Из предыдущего видно, что к. и. д. излучения а. ч. т. (на одну октаву) определяется отношением произведения заданной пары значений  $\lambda$  и  $T$  к  $(\lambda T)_m = 3667,7 \text{ мкм} \cdot \text{град}$ .

Числа, простирающиеся вдоль кривой на рис. 6, показывают, как быстро меняется к. и. д. при изменении температуры (и постоянной длине волны). Так, число 9 около  $y(0,3)$  обозначает, что при возрастании температуры на  $1\%$  к. и. д. увеличится на  $9\%$ . Скорость изменения излучения будет на 4 больше, т. е. при  $\lambda T / (\lambda T)_m = 0,3$  повышение температуры на  $1\%$  поведет к увеличению мощности излучения на  $13\%$ . Из того же рисунка видно, что при  $\lambda T / (\lambda T)_m = 3$  повышение температуры на  $1\%$  приведет к уменьшению к. и. д. на  $2,2\%$ , а соответствующее излучение возрастет на  $4-2,2 = 1,8\%$ .

7. Сказанного достаточно для того, чтобы видеть, что при решении ряда задач, связанных с распределением мощности в спектре излучения а. ч. т., логарифмическая шкала длины волн (волновых чисел, частот) оказывается весьма удобной. Равномерная правомочная и не ведущая ни к каким принципиальным ошибкам линейная шкала длины волн (волновых чисел, частот) оказывается связанный с гораздо более сложными зависимостями.

Достоинства логарифмической шкалы длины волн (волновых чисел, частот) состоят в следующем.

а) в логарифмических шкалах спектральная плотность излучения имеет размерность, совпадающую с размерностью интегральной плотности излучения ( $\text{вт} \cdot \text{см}^{-2}$ );

б) в логарифмических шкалах все области электромагнитного спектра представлены на графике в равной мере, поскольку изменение спектральной координаты ( $\lambda$ ,  $n$  или  $v$ ) на одну октаву в любой части спектра изображается на шкале одинаковыми отрезками;

в) в логарифмических шкалах длины волн и температуры, рассчитанные на одну октаву к. и. д. излучения а. ч. т., имеют одинаковую зависимость от длины волны и от температуры;

1) в логарифмических шкалах константа закона смещения Вина, определяющая положение  $(\lambda_m)$  наибольшей спектральной плотности излучения а. ч. т. при заданной температуре  $T$ , совпадает с константой, определяющей температуру ( $T_m$ ), при которой к. и. д. излучения а. ч. т. в узком спектральном интервале (около длины волны  $\lambda$ ) достигает своего максимального значения, т. е. для логарифмической шкалы имеем

$$\lambda_m T - \lambda T_m = 3667,7 \text{ мкм} \cdot \text{град}.$$

#### ЦИТИРОВАННАЯ ЛИТЕРАТУРА

1. А. А. Гершун, О спектральной плотности излучения, УФН 46 (3), 366 (1952).
2. М. М. Гуревич, О спектральном распределении мощности излучения, УФН 56(3), 417 (1955).
3. Р. А. Сапожников, О спектральном распределении лучистой энергии, УФН 70(2), 387 (1950).
4. Ш. Фабри, Введение в фотометрию, М., ОНТИ, 1934.